

**АДАПТИВНЫЙ ПОДХОД К УПРАВЛЕНИЮ ПРОЦЕССАМИ
ПРИ МАНИПУЛЯЦИОННОМ ФУНКЦИОНИРОВАНИИ
СВОБОДНОЛЕТАЮЩЕГО КОСМИЧЕСКОГО РОБОТА**

В [1] была получена упрощенная модель плоского движения свободнолетающего космического манипуляционного робота (КМР), состоящего из несущего тела и шарнирно присоединенного к нему трёхзвенного манипулятора:

$$\begin{aligned} \tilde{A}_{11}\ddot{q}^\varepsilon + \tilde{A}_{12}\ddot{q}^\alpha &= M^0, \\ A_{22}^d\ddot{q}^\alpha &= M^\alpha, \end{aligned} \quad (1)$$

где $q^\varepsilon = (X_\varepsilon, Y_\varepsilon, \vartheta)$, $q^\alpha = (\alpha_1, \alpha_2, \alpha_3)$, $X_\varepsilon = X_A - X_s$, $Y_\varepsilon = Y_A - Y_s$ – координаты текущего отклонения концевой точки s манипулятора от цели A (рис. 1). Элементы $\tilde{a}_{ij}(q)$ матриц \tilde{A}_{11} , \tilde{A}_{12} и $A_{22}^d = \text{diag } A_{22}$, в общем случае зависящие от переменных $q = (q^0, q^\alpha)$, где $q^0 = (X_0, Y_0, \vartheta)$, линейно связаны с приведенными в [2] соответствующими элементами $a_{ij}(q)$ матриц полных исходных уравнений КМР вида: $A(q)\ddot{q} + f(q, \dot{q}) = M$.

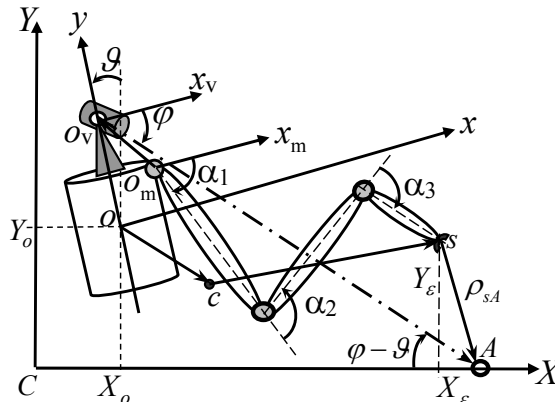


Рисунок 1 – Свободнолетающий КМР

Представленные в скалярной форме уравнения многосвязной системы (1) имеют вид

$$\begin{aligned} \tilde{a}_{11}\ddot{X}_\varepsilon + \tilde{a}_{12}\ddot{Y}_\varepsilon + \tilde{a}_{13}\ddot{\vartheta} &= -(\tilde{a}_{14}a_{44}^{-1}M_{\alpha 1} + \tilde{a}_{15}a_{55}^{-1}M_{\alpha 2} + \tilde{a}_{16}a_{66}^{-1}M_{\alpha 3}), \\ \tilde{a}_{21}\ddot{X}_\varepsilon + \tilde{a}_{22}\ddot{Y}_\varepsilon + \tilde{a}_{23}\ddot{\vartheta} &= -(\tilde{a}_{24}a_{44}^{-1}M_{\alpha 1} + \tilde{a}_{25}a_{55}^{-1}M_{\alpha 2} + \tilde{a}_{26}a_{66}^{-1}M_{\alpha 3}), \\ \tilde{a}_{31}\ddot{X}_\varepsilon + \tilde{a}_{32}\ddot{Y}_\varepsilon + \tilde{a}_{33}\ddot{\vartheta} &= -(\tilde{a}_{34}a_{44}^{-1}M_{\alpha 1} + \tilde{a}_{35}a_{55}^{-1}M_{\alpha 2} + \tilde{a}_{36}a_{66}^{-1}M_{\alpha 3}), \\ a_{44}\ddot{\alpha}_1 &= M_{\alpha 1}, \\ a_{55}\ddot{\alpha}_2 &= M_{\alpha 2}, \\ a_{66}\ddot{\alpha}_3 &= M_{\alpha 3}. \end{aligned} \quad (2)$$

Переменность коэффициентов \tilde{a}_{ij} обусловлена зависимостью от координат углового положения корпуса КМР \mathcal{G} и шарнирных углов манипулятора α_i . При этом диапазон возможных изменений коэффициентов является ограниченным, поскольку координаты, влияющие на переменность коэффициентов, входят в них как тригонометрические функции, по модулю не превышающие единицы. Следует отметить, что в процессе реализации манипуляционного управления КМР могут возникать состояния, при которых коэффициенты \tilde{a}_{ij} меняют знак на противоположный, т.е. становятся отрицательными, провоцируя неустойчивость движения.

Для анализа устойчивости свободного движения по координатам α_1 и α_2 , предполагая, что концевое звено зафиксировано ($\alpha_3 = \text{const}$) и управление по координате \mathcal{G} отсутствует, уравнения (2) представим в следующем виде:

$$\begin{aligned}\ddot{X}_\varepsilon &= d_{11}M_{\alpha_1} + d_{12}M_{\alpha_2}, \\ \ddot{Y}_\varepsilon &= d_{21}M_{\alpha_1} + d_{22}M_{\alpha_2},\end{aligned}\quad (3)$$

где управляющие шарнирные моменты M_{α_i} предполагаются сформированными в виде

$$M_{\alpha_1} = k_{0x}(k_{1x}X_\varepsilon + k_{2x}\dot{X}_\varepsilon), \quad M_{\alpha_2} = k_{0y}(k_{1y}Y_\varepsilon + k_{2y}\dot{Y}_\varepsilon), \quad (4)$$

(коэффициенты $K_{ij} = (k_{0x}, k_{1x}, \dots, k_{2y})$ выбираются с учётом выполнения определённых требований к устойчивости и качеству переходного процесса); коэффициенты d_{ij} , $i, j = 1, 2$ являются функциями, зависящими от координат вектора q .

Пример компьютерного вычисления зависимостей $d_{ij}(\alpha_1)$ при $\alpha_2 = \pi/4 = \text{const}$ приведен на рисунке 2, содержащем точки ($\alpha_1 = -0,3; 0,65$) смены знаков графиков функций $d_{ij}(\alpha_1)$, в которых может произойти нарушение приведенных ниже условий устойчивости движения по регулируемым координатам $X_\varepsilon, Y_\varepsilon$.

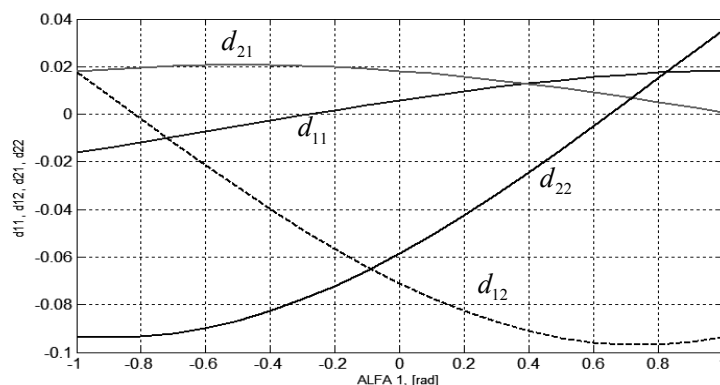


Рисунок 2 – Графики изменения коэффициентов модели КМР

Приведенный пример показывает, что в общем случае переменность коэффициентов $d_{ij}(q)$ в уравнениях КМР (3) при неизменных параметрах управлений (4) может приводить к нарушению хотя бы одного из необходимых условий устойчивости в системе (3), имеющих для рассматриваемого частного случая следующий вид:

$$(k_{0x}k_{2x}d_{11} + k_{0y}k_{2y}d_{22}) < 0, \quad \text{sign } d_{12} \neq \text{sign } d_{21} \text{ при } \text{sign } k_{0x} = \text{sign } k_{0y}, \quad d_{11}d_{22} > d_{12}d_{21}. \quad (5)$$

Необходимое и достаточное условие устойчивости для системы (3), (4) определяется на основе алгебраического критерия Гурвица при выполнении третьего необходимого условия в (5) в виде $D_3 > 0$. D_3 – диагональный минор третьего порядка матрицы Гурвица, составленного из коэффициентов характеристического уравнения рассматриваемой системы. На основе использования условия $D_3 > 0$ была определена область значений углов α_1 и α_2 , при которых движение КМР остается устойчивым при постоянных параметрах алгоритма (4).

Поскольку при управлении КМР координаты ϑ и α_i , как правило, являются измеряемыми, то переменные коэффициенты \tilde{a}_{ij} а, следовательно, и коэффициенты $d_{ij}(q)$ легко могут вычисляться во времени, что позволяет прогнозировать динамику процессов управления КМР, контролируя приведенные выше условия устойчивости и осуществляя в соответствующие моменты времени адаптивную перестройку параметров алгоритма (4).

Сохранение устойчивости движения системы (3), (4) и обеспечение требуемой динамики осуществляется на основе метода адаптивного управления, в соответствии с которым коэффициенты алгоритма (4) перестраиваются в зависимости от изменения параметров объекта (2).

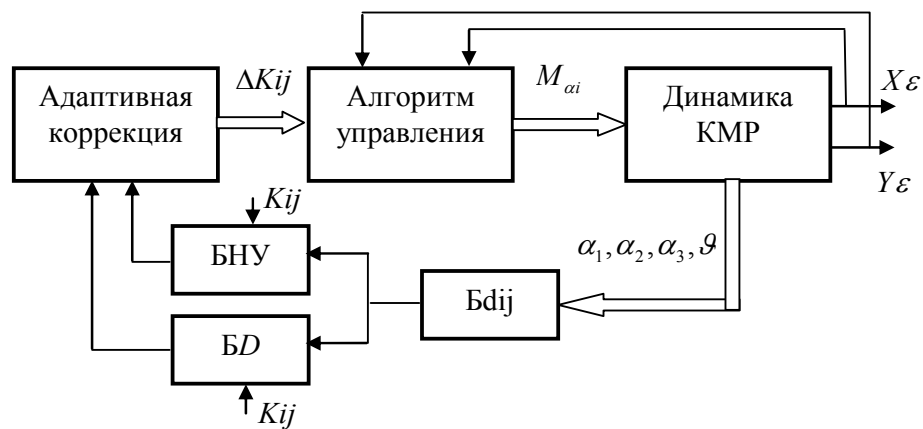


Рисунок 3 – Структура адаптивной системы управления КМР

Структура адаптивной системы управления КМР, представленная на рисунке 3, содержит, кроме блока алгоритмов (4), блок расчета коэффициентов $d_{ij}(q)$, обозначенный на схеме B*dij*; БНУ – блок проверки необходимых условий устойчивости (5); BD – блок расчета текущего значения минора D_3 и блок «адаптивная коррекция», алгоритмы которого осуществляют коррекцию знаков и величин коэффициентов в алгоритме управления КМР (4) по информации, получаемой с выходов блоков БНУ и BD.

В частности, анализ системы (3), (4) показал, что первое из необходимых условий устойчивости в (5) может быть обеспечено за счёт изменения знаков коэффициентов k_{0x} , k_{0y} по результатам вычисления величин $d_{11}(q)$ и $d_{22}(q)$, изменяющихся при манипуляционном функционировании КМР. Данное свойство позволяет существенно упростить алгоритмы адаптивной коррекции коэффициентов системы управления.

Результаты проведенного математического моделирования системы, как в частности видно из рисунка 4 ($X_\varepsilon, Y_\varepsilon \rightarrow 0$), подтвердили работоспособность предложенного адаптивного подхода к управлению КМР.

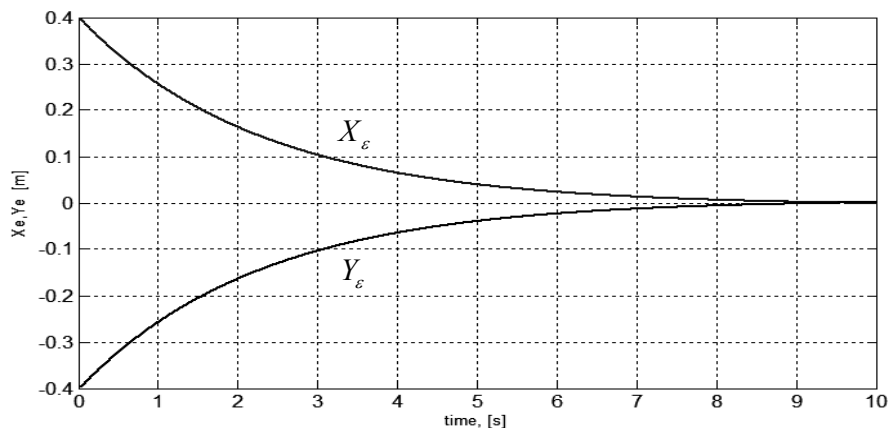


Рисунок 4 – Переходные процессы сближения схвата с целью

Библиографический список

1. Суханов В.М. Уравнения динамики свободнолетающего космического робота для задач управления на основе обратных связей [Текст] / В.М. Суханов, А.В. Силаев, В.М. Глумов // Автоматика и телемеханика. – 2015. – № 8. – С. 153-164.
2. Рутковский В.Ю. Уравнения движения и управление свободнолетающим космическим манипуляционным роботом в режиме реконфигурации [Текст] / В.Ю. Рутковский, В.М. Суханов, В.М. Глумов // Автоматика и телемеханика. – 2010. – №.1. – С. 80-98.